

III-12 水槽内における砂堆の運動不連続に関する研究

京都大学防災研究所 正員 工博 矢野 勝正

" " " 芦田 和男

京都大学大学院 学員 定道 成美

1 はじめに

ダムによる堆砂には浮遊流砂によるものと、掃流流砂によるものとがあり、後者の堆砂は砂堆の形で行われることは周知の事実である。したがって、この砂堆の運動機構は堆砂の問題を取扱う場合の重要な問題であるが、堆砂の先端では河床が不連続になるために河床変動に関する理論的解析法をそのまま適用する事は非常に困難である。したがって、今までより、実験的事実にもとづいて実用的な取り扱い方が行われてきた。これによつて、この運動の特性についてはかなり多くの事実が明らかになつてゐる。しかしながら、理論的に解明されたものではないために、一般的に適用しうるかどうかには問題点がある。事実、今までに明らかにされてゐる実験的事実は必ずしも相互に統一が取れてゐるとはいへないようである。

そこで、著者等はこれらの一貫性の統一的解明を行つべく、砂堆の不連続性を考慮した力学的な解析法を試みた。さうに計算例により、この解析法が従来明らかなされてゐる実験的事実をかなりよく証明しうることを知り得た。しかし、移動限界水深、等流水深、限界水深等の相対的な大きさにより、解析結果がかなり相違するようであるので、今後、これら特性の相違について検討を加えていくとともにさうに多くの場合について、理論と実験との比較検討を行なつていきたいと考えてゐる。

2 理論的考察

座標軸を図-1のようにとり、水の運動方程式は、時間的に極めて緩慢として、 $\frac{\partial}{\partial t}$ の項を無視する。

$$\frac{\partial^2 (u^2)}{\partial x^2} = i - \frac{\partial (f+g)}{\partial x} - \frac{m^2 u^2}{R^3} \quad (1)$$

となり、水の運動方程式は単位巾当り

$$Q = hu = Q_0 = \text{Constant} \quad (2)$$

となる一方、砂の運動方程式として、グラウニ型を用いると

$$Q_B = Ku_x(u_x^2 - u_{rc}^2)^m \quad (3)$$

となり、ここに、 m 、 K 常数、 u_x はマツツ速度である。

砂の連続式は

$$\frac{\partial h}{\partial t} + \frac{1}{(1-m)} \frac{\partial Q_B}{\partial x} = 0 \quad (4)$$

となる。ここで h は砂の空げき率である。

また 抵抗法則としてマニング型を使用すると、 u_x は一般に、

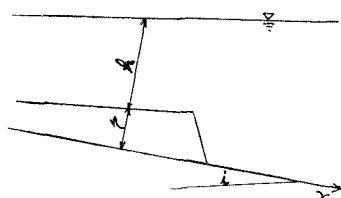


図-1

$$U_*^2 = g m^2 Q_0^2 / h^{m+2} \quad (5)$$

とより、(1), (2)より

$$\left\{1 - \left(\frac{h}{h_k}\right)^3\right\} \frac{\partial h}{\partial x} = i - \frac{\partial h}{\partial x} - m^2 Q_0^2 / h^{m+2} \quad (6)$$

(3) と (4), (5) 式より

$$\frac{\partial h}{\partial t} - \frac{K}{(1-\lambda)} \cdot \frac{2}{6} (m^2 Q_0^2)^{m+1} \frac{1}{h^{m+2}} \left(\frac{1}{h_k^3} - \frac{1}{h^3} \right)^m \left\{ 1 + 2m / \left(1 - \left(\frac{h}{h_k} \right)^3 \right) \right\} \frac{\partial h}{\partial x} = 0 \quad (7)$$

(7)式の左二項の $\frac{\partial h}{\partial x}$ の係数を $\Psi(h)$ とおき、(6)の $\frac{\partial h}{\partial x}$ を (7)に代入すると、

$$\frac{\partial h}{\partial t} - \left\{ \Psi(h) / \left(1 - \left(\frac{h}{h_k} \right)^3 \right) \right\} \frac{\partial h}{\partial x} = - \Psi(h) \left\{ i - m^2 Q_0^2 / h^{m+2} \right\} / \left(1 - \left(\frac{h}{h_k} \right)^3 \right), \quad (8)$$

となる。さて、図-2 において、砂堆の先端の上昇速度を V 、

前進速度を i 、砂堆の下流の水深を h_1 、砂堆の峰での水深

を h 、砂堆高さを h_k とすると、砂堆の峰の上昇速度 V は

$\frac{\partial h}{\partial t}$ で示され (8) より

$$V = \frac{\partial h}{\partial t} = \Psi(h_k) \left\{ \frac{1}{1 - \left(\frac{h_k}{h} \right)^3} \frac{\partial h}{\partial x} - \left(i - m^2 Q_0^2 / h^{m+2} \right) / \left(1 - \left(\frac{h_k}{h} \right)^3 \right) \right\}, \quad (9)$$

となる。また、前進速度 i は、単位時間に砂堆の峰を通過する砂が全て、砂堆前面に堆積するものとすれば、 i は

$$i = \frac{g h_k}{g(1-\lambda)} = K U_* (U_*^2 - U_k^2)^{m+1} / g(1-\lambda) \quad (10)$$

ここで、 $g h_k$ は砂堆の峰を通過する量、 U_* は砂堆峰でのマサツ速度である。

一般にマサツ速度が (5) で示されるが、 $g h_k$ は砂堆の峰上の水深 h_k で示される。ゆえに

$$i = K (m^2 Q_0^2)^{m+1} / g(1-\lambda) \cdot \left(\frac{1}{h_k^3} - \frac{1}{h^3} \right)^m \quad (11)$$

となる。ゆえに (9) と (11) より砂堆の運動方向の座標軸 (x) における勾配工は

$$I = \frac{V}{i} = \frac{g}{g(1-\lambda)} \left\{ \frac{1}{1 - \left(\frac{h_k}{h} \right)^3} \right\} \left\{ \left(i - \frac{\partial h}{\partial x} - \frac{m^2 Q_0^2}{h^{m+2}} \right) / \left(1 - \left(\frac{h_k}{h} \right)^3 \right) \right\} \quad (12)$$

で示される。一方下流水深 h_1 と砂堆の峰上水深 h_k との間に Momentum 保存則が成立つとすれば

$$p h_1 v_1^2 - p h_k v_k^2 = p g \{ (h_k + i)^2 - h_1^2 \} / 2 \quad (13)$$

が成立する。これに $v_1 = v_k = V$ を代入すると、

$$2 h_k^3 / h_1 + h_1^2 = 2 h_k^3 / h_k + (h_k + i)^2 \quad (14)$$

となる。すなはち、砂堆高さと水深 h_k がわかること (14) より h_1 が解ける。さて (12) における工は $\frac{\partial h}{\partial x}$ が known であれば工は解ける。一般には砂堆の峰より上流は一般的の河床運動に対する 3 手法で解けるから $\frac{\partial h}{\partial x}$ は known となる。今、 $\frac{\partial h}{\partial x}$ を一次近似解として一定値 i を取るとものとすると工は

$$I = \frac{g}{g(1-\lambda)} \left\{ \frac{1}{1 - \left(\frac{h_k}{h} \right)^3} \right\} \left\{ \left(i - i_0 - \frac{m^2 Q_0^2}{h^{m+2}} \right) / \left(1 - \left(\frac{h_k}{h} \right)^3 \right) \right\}$$

となり、ある瞬間での砂堆高さ h と、その前面の水深 h_1 がわかれば工は解ける。又、 h_1 はタムフルストリック水面計算で求めることができ。次に砂堆の発生位置は理論的に求めがたいので移動限界水深までにじまるものとする。この時工は不定形となるので (12) の条件のもとで $h \rightarrow h_k$ として工を求める。いま、次の例について計算した

$$Q_0 = 2.44 \times 10^{-2} \text{ m}^3/\text{s}, i = 1/100, i_0 = 1/333 \quad \text{結果は図-3 のようであり、従来の実験結果} \\ d_m = 0.04 \text{ m}, m = 0.0154, h_k = 0.102 \text{ m} \quad \text{零傾向をよく説明している。}$$

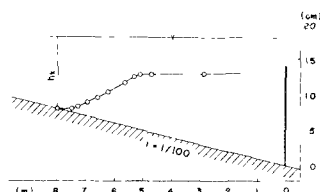
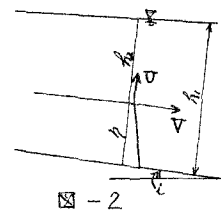


図-3 砂堆の軌跡図